



Raport

z badań poziomu natężenia pola elektrycznego
w otoczeniu stacji bazowej:

SWI3303

na podstawie sprawozdania 42/4/22/OS udostępnionego przez Radiolog S.C. Tadeusz Piotrowski i
Janusz Rzepka

Laboratorium prowadzące badania

Radiolog S.C. Tadeusz Piotrowski i Janusz Rzepka
ul. Dworska 46
71-026 Szczecin
91 483 21 15
radiolog_sc@poczta.onet.pl

Zleceniodawca badań

P4 Sp. z o.o.

02-677 Warszawa
790 500 500
kontakt@play.pl

Nr akredytacji: AB 413

Data wydania sprawozdania: 03.02.2022

Raport zawiera wybrane elementy sprawozdania i służy wyłącznie obrazowemu przedstawieniu informacji o danej instalacji. Raport nie może być wykorzystywany w postępowaniach administracyjnych.

Informacje ogólne

Zgodność z metodyką RMK: Tak

Ograniczenia: Na podstawie art. 122a ust. 1b ustawy Prawo ochrony środowiska (t.j. Dz.U. z 2020 r., poz. 1219, 1378, 1565, 2127, 2338, z 2021 r. poz. 802, 868, 1047, 1162, 1535.), pomiary PEM w lokalach mieszkalnych i użytkowych zlokalizowanych w obszarze pomiarowym badanej stacji bazowej nie zostały przeprowadzone.

Wykorzystanie w obszarze regulowanym: Tak

Przedmiot badań

Identyfikator stacji w UKE	SWI3303
Operator	P4 Sp. z o.o.
Współrzędne	16,5775000; 50,9622200
Rodzaj pracy	ciągła
Rodzaj wytwarzanego pola	stacjonarne

Miejsce badań

Otoczenie stacji bazowej SWI3303 w lokalizacji Imbramowice, dz. nr 384.

Cel badań

1. Zweryfikowanie zgodności z wymaganiami rozporządzenia Ministra Zdrowia z dnia 19 grudnia 2019 r.

Opis stacji bazowych

Tabela 1: Opis anten badanych stacji bazowych

Lp.	Identyfikator stacji w UKE	Typ Producent anteny	Azymut	H	EIRP	Pasma	Tilt	Tilt w trakcie pomiarów
			[°]	[m]	[W]	[MHz]	[°]	[°]
1	SWI3303	ATR4518R11v06 Huawei	30	42,50	19917*	UMTS 900	0,0 - 8,4	4,2
LTE 1800						0,0 - 8,4	4,2	
LTE 2100		0,0 - 8,4	4,2					
LTE 1800		0,0 - 8,4	4,2					
LTE 2100		0,0 - 8,4	4,2					
LTE 2100		0,0 - 8,4	4,2					
2	SWI3303	ATR4518R11v06 Huawei	30	42,50	13430*	LTE 800	0,0 - 8,4	4,2
LTE 2600						0,0 - 8,4	4,2	
LTE 2600		0,0 - 8,4	4,2					
LTE 2600		0,0 - 8,4	4,2					
LTE 2600		0,0 - 8,4	4,2					
LTE 2600		0,0 - 8,4	4,2					
3	SWI3303	ATR4518R11v06 Huawei	170	42,50	19917*	UMTS 900	0,0 - 6,8	3,4
LTE 1800						0,0 - 6,8	3,4	
LTE 2100		0,0 - 6,8	3,4					
LTE 1800		0,0 - 6,8	3,4					
LTE 2100		0,0 - 6,8	3,4					
LTE 2100		0,0 - 6,8	3,4					
4	SWI3303	ATR4518R11v06 Huawei	170	42,50	13430*	LTE 800	0,0 - 6,8	3,4
LTE 2600						0,0 - 6,8	3,4	
LTE 2600		0,0 - 6,8	3,4					
LTE 2600		0,0 - 6,8	3,4					
LTE 2600		0,0 - 6,8	3,4					
LTE 2600		0,0 - 6,8	3,4					
5	SWI3303	ATR4518R11v06 Huawei	275	42,50	19917*	UMTS 900	0,0 - 8,1	4,1
LTE 1800						0,0 - 8,1	4,1	
LTE 2100		0,0 - 8,1	4,1					
LTE 1800		0,0 - 8,1	4,1					
LTE 2100		0,0 - 8,1	4,1					
LTE 2100		0,0 - 8,1	4,1					
6	SWI3303	ATR4518R11v06 Huawei	275	42,50	13430*	LTE 800	0,0 - 8,1	4,1
LTE 2600						0,0 - 8,1	4,1	
LTE 2600		0,0 - 8,1	4,1					
LTE 2600		0,0 - 8,1	4,1					
LTE 2600		0,0 - 8,1	4,1					
LTE 2600		0,0 - 8,1	4,1					

* moc EIRP łączna dla wszystkich częstotliwości anteny

Warunki pomiarów

Pomiary w wyznaczonych punktach wykonano w następujących warunkach:

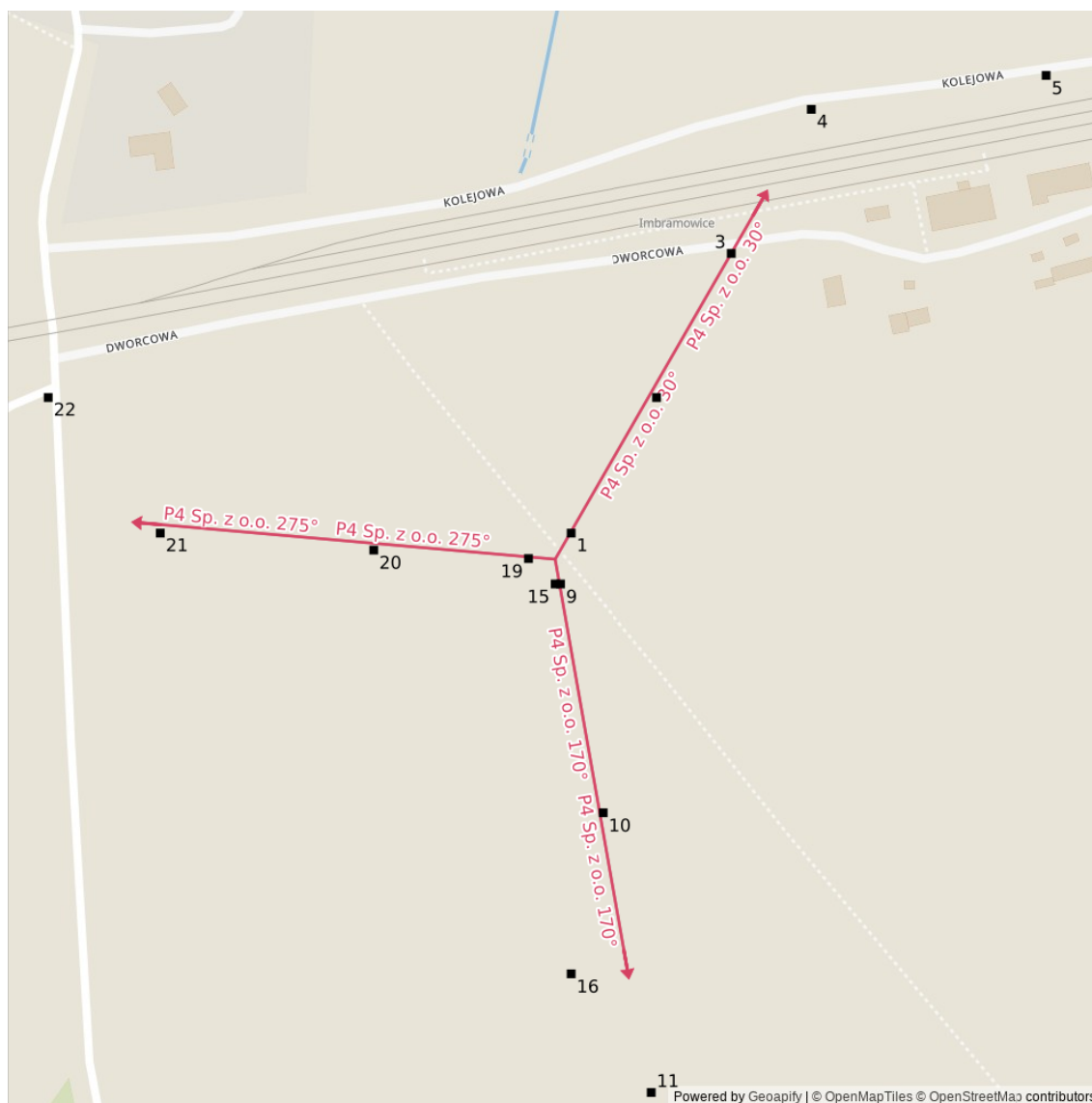
01.02.2022 11:15-14:00			
Warunki środowiskowe	Temperatura [°C]	Wilgotność [%]	Opady
Minimalna	2,8	72,8	brak
Maksymalna	3,3	74,4	

Aparatura

Tabela 2: Aparatura

MIERNIKI I SONDY					
Lp.	Typ / Nazwa	Model	Producent	Próg detekcji	Świadectwo wzorcowania
1a	miernik	SMP2	SMP		LWiMP/W/257/20 z dn. 25.09.2020 wydane przez LWiMP
1b	sonda	WPF8 HP	SMP	0,50	
2a	miernik	NBM- 550	Narda		LWiMP/W/050/21 z dn. 17.02.2021 wydane przez LWiMP
2b	sonda	EF6091	Narda	0,50	
POZOSTAŁE					
Lp.	Typ / Nazwa	Model	Producent	Świadectwo wzorcowania	
3	termohigrometr	H560	EMD Systemy Pomiarowe	2951.1-M54 -4180-1501/15 z dn. 19.08.2015 wydane przez GUM	

Lokalizacje pionów pomiarowych



Rysunek 1: Plan terenu

Wyniki pomiarów szerokopasmowych

Tabela 3: Zestawienie lokalizacji pionów pomiarowych oraz wyników pomiarów natężenia pola elektrycznego, pomiary szerokopasmowe

Nazwa	Data	Współrzędne geograficzne	E	WM _E	H	WM _H
		[°]	[$\frac{V}{m}$]		[$\frac{A}{m}$]	
1	01.02.2022	16,5775833 50,9623056	1,69	0,060	0,004	0,061
2	01.02.2022	16,5780278 50,9627500	1,48	0,053	0,004	0,054
3	01.02.2022	16,5784167 50,9632222	1,27	0,045	0,003	0,046

Ciąg dalszy na następnej stronie

Tabela 3: Zestawienie lokalizacji pionów pomiarowych oraz wyników pomiarów natężenia pola elektrycznego, pomiary szerokopasmowe (c.d.)

Nazwa	Data	Współrzędne geograficzne	E	WM _E	H	WM _H
		[°]	[$\frac{V}{m}$]		[$\frac{A}{m}$]	
4	01.02.2022	16,5788333 50,9636944	1,48	0,053	0,004	0,054
5	01.02.2022	16,5800556 50,9638056	< 1,06	< 0,038	< 0,003	< 0,039
6	01.02.2022	16,5794722 50,9642778	1,48	0,053	0,004	0,054
7	01.02.2022	16,5799722 50,9648056	1,69	0,060	0,004	0,061
8	01.02.2022	16,5806944 50,9655556	1,90	0,068	0,005	0,069
9	01.02.2022	16,5775278 50,9621389	1,48	0,053	0,004	0,054
10	01.02.2022	16,5777500 50,9613889	1,69	0,060	0,004	0,061
11	01.02.2022	16,5780000 50,9604722	1,90	0,068	0,005	0,069
12	01.02.2022	16,5782222 50,9597778	2,12	0,076	0,006	0,077
13	01.02.2022	16,5784167 50,9590556	2,75	0,098	0,007	0,100
14	01.02.2022	16,5785833 50,9585556	2,12	0,076	0,006	0,077
15	01.02.2022	16,5775000 50,9621389	1,27	0,045	0,003	0,046
16	01.02.2022	16,5775833 50,9608611	1,48	0,053	0,004	0,054
17	01.02.2022	16,5775556 50,9596944	1,69	0,060	0,004	0,061
18	01.02.2022	16,5776111 50,9583611	1,90	0,068	0,005	0,069
19	01.02.2022	16,5773611 50,9622222	1,48	0,053	0,004	0,054
20	01.02.2022	16,5765556 50,9622500	1,27	0,045	0,003	0,046
21	01.02.2022	16,5754444 50,9623056	< 1,06	< 0,038	< 0,003	< 0,039
22	01.02.2022	16,5748611 50,9627500	< 1,06	< 0,038	< 0,003	< 0,039
23	01.02.2022	16,5740000 50,9624167	< 1,06	< 0,038	< 0,003	< 0,039
24	01.02.2022	16,5744167 50,9634167	< 1,06	< 0,038	< 0,003	< 0,039

Ciąg dalszy na następnej stronie

Tabela 3: Zestawienie lokalizacji pionów pomiarowych oraz wyników pomiarów natężenia pola elektrycznego, pomiary szerokopasmowe (c.d.)

Nazwa	Data	Współrzędne geograficzne	E	WM _E	H	WM _H
		[°]	[$\frac{V}{m}$]		[$\frac{A}{m}$]	
25	01.02.2022	16,5739167 50,9637778	< 1,06	< 0,038	< 0,003	< 0,039
26	01.02.2022	16,5727222 50,9624167	1,48	0,053	0,004	0,054
27	01.02.2022	16,5711944 50,9624167	1,69	0,060	0,004	0,061

Podsumowanie

Na podstawie wyników pomiarów pola elektromagnetycznego przedstawionych w niniejszym raporcie o nr 42/4/22/OS opracowanym przez Radiolog S.C. Tadeusz Piotrowski i Janusz Rzepka stwierdza się, że w otoczeniu stacji bazowej SWI3303 dopuszczalne poziomy pól elektromagnetycznych w środowisku, określone w przepisach wydanych na podstawie art. 122 ust. 1 ustawy z dnia 27 kwietnia 2001 r. – Prawo ochrony środowiska uznaje się za **dotrzymane**. Udokumentowano, że w żadnym pionie pomiarowym wartości wskaźnikowe WM_E oraz WM_H nie przekroczyły 1.

Osoby odpowiedzialne

Wykonanie pomiarów: b.d.

Opracowanie sprawozdania: b.d.

Autoryzacja sprawozdania: Janusz Rzepka (Kierownik Laboratorium)